

# Index

(I) イントロ

(II) ハミルトン閉路, その他のための必要条件

- ✓ Grinberg の必要条件
- ✓ タフネス型の必要条件

(III) Tutte 閉路・道, 命題と証明

- ✓ Thomassen によるもの
- ✓ 河原林 & 小関による新しいもの

(IV) Tutte 閉路・道の利用

- ✓ 3-連結 3-正則平面グラフ
- ✓ 本型埋め込み

# $C$ -Tutte 道

$C$ : グラフ  $G$  の部分グラフ

$T$ :  $G$  の  $C$ -Tutte 道

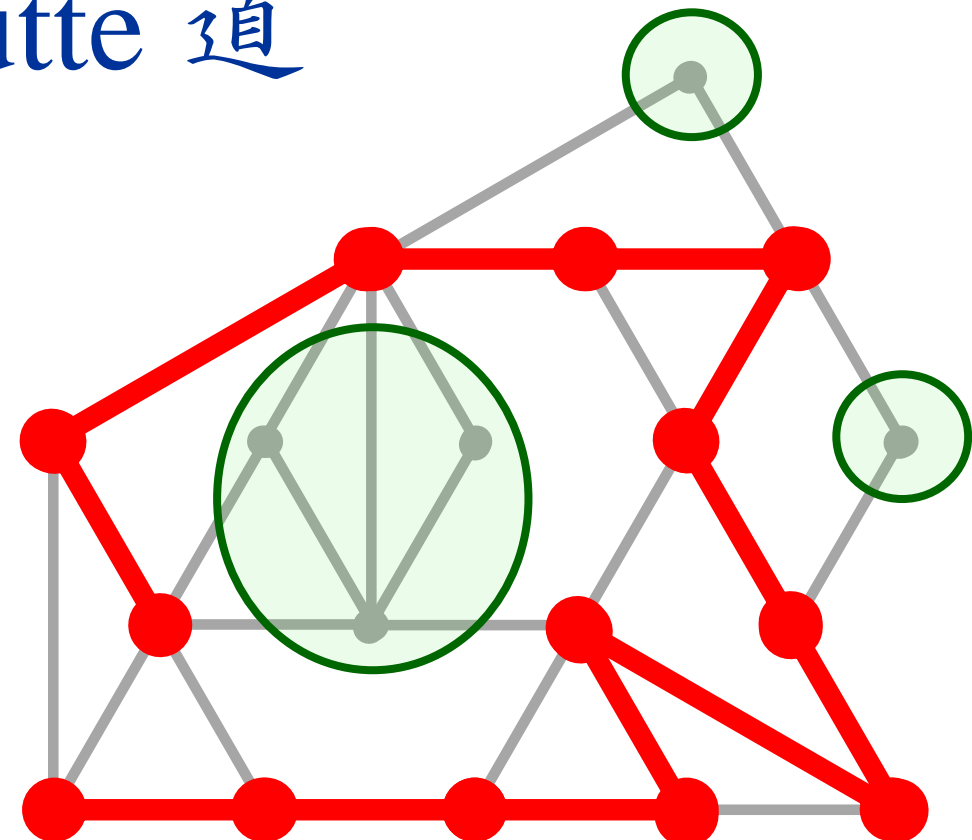
$\Updownarrow$

$\forall B : G - V(T)$  の連結成分,

- $B$  の  $T$  上の近傍は  $\leq 3$  点
- $B$  が  $C$  の点を含む  
 $\Rightarrow$  近傍は  $\leq 2$  点

$G$ : 4-連結,  $|T| \geq 4$

$\Rightarrow T$ : ハミルトン道



$G$  の  $C$ -Tutte 道  
( $C$  は外領域の境界閉路)

# Tutte 閉路・道の歴史

1931	Whitney	三角形分割に対して
1956	Tutte	
1983	Thomassen	
1986	Chiba & Nishizeki	Thomassen の証明のミスを指摘・修正
90年代前半 ～00年代前半	Thomas & Yu (Zang)	さまざまなバリエーション
90年代後半	Sanders	平面以外の閉曲面
2010年代	河原林 & 小関	新しい証明方針
もうすぐ	誰か	Grunbaum, Nash-Williams 予想の解決

# Tutte 道

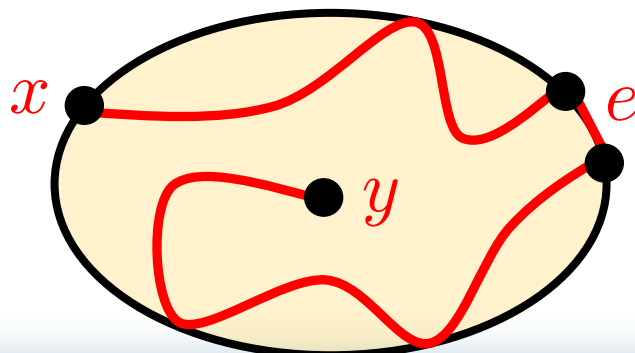
定理 (Thomassen, '83)

$G$ : 平面グラフ,  $C$ : 外領域の境界歩道

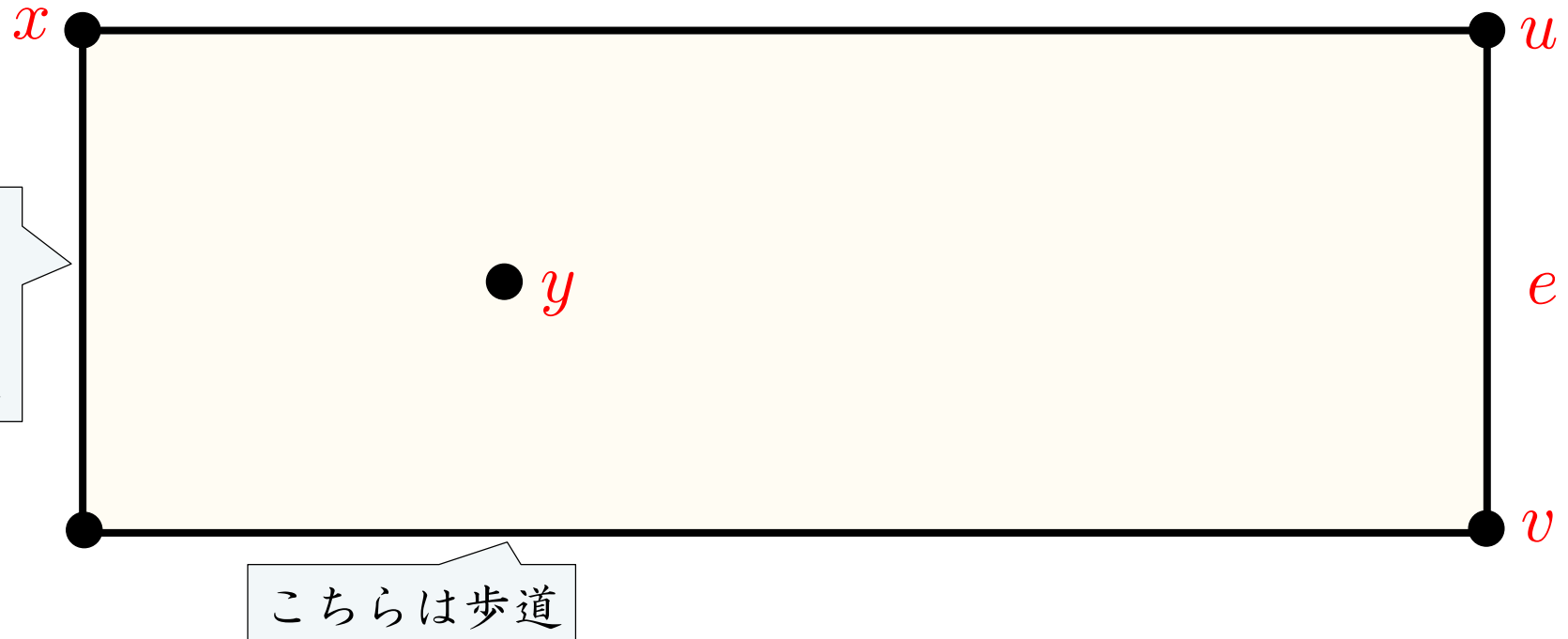
$x$ :  $C$  上の頂点,  $e$ :  $C$  上の辺,  $y \in V(G) - \{x\}$

$\exists$   $x$  から  $y$  への道で  $e$  を通る もの

$\Rightarrow \exists$   $x$  から  $y$  への  $C$ -Tutte 道で  $e$  を通る もの



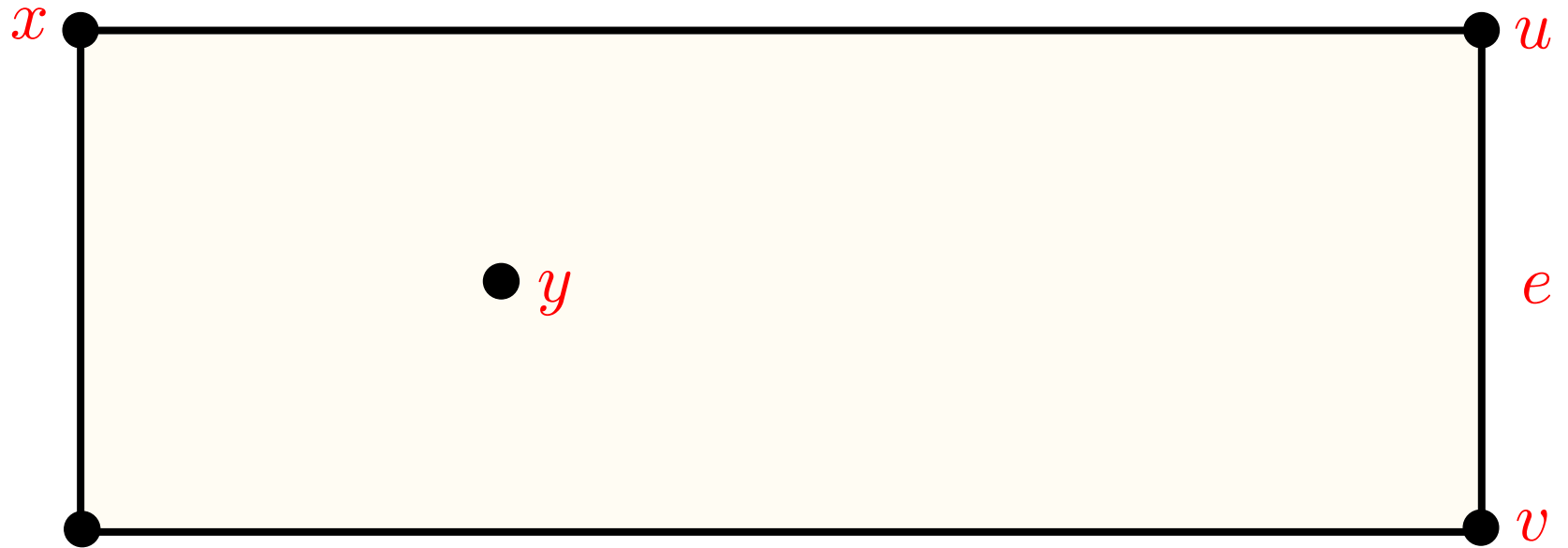
# 証明の概略



$$e = uv$$

$C[x, u] : C$  の時計まわりの部分歩道で  $x$  から  $u$  まで  
「 $x$  から  $y$  への道で  $e$  を通るもの」を「道 s.t.  $x \xrightarrow{e} y$ 」と書く。

# 証明の概略

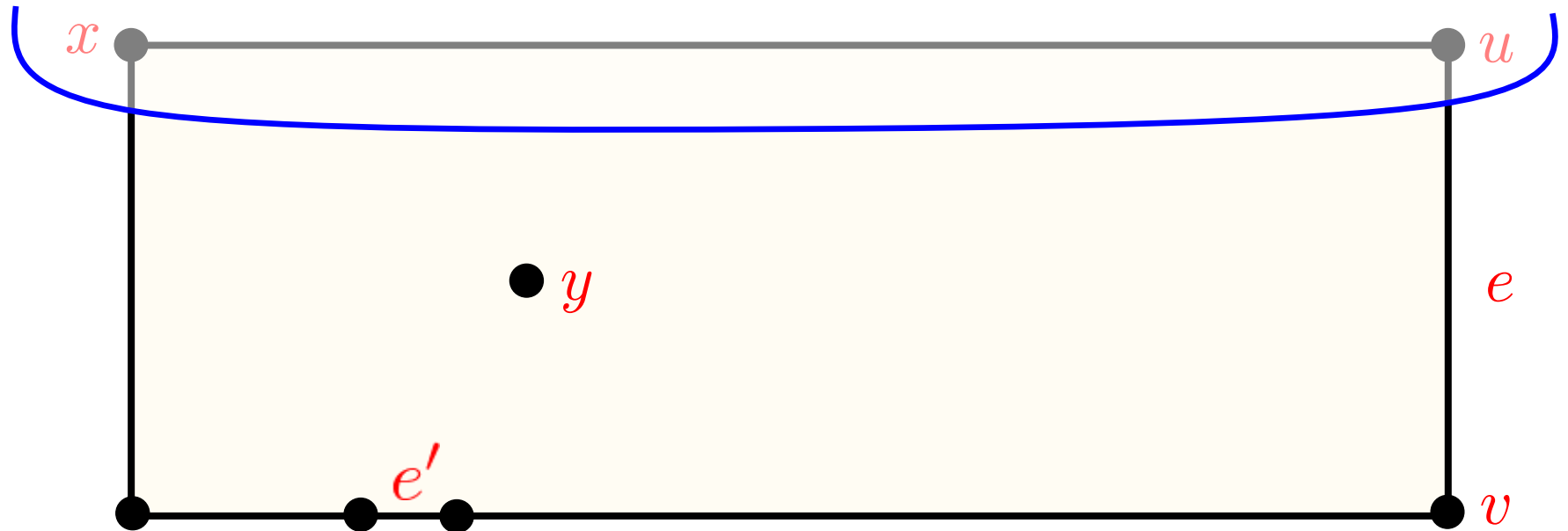


$\exists$  道 in  $G - V(C[x, u])$  s.t.  $v \rightarrow y$

または,  $\exists$  道 in  $G - V(C[v, x])$  s.t.  $u \rightarrow y$

演習番外 2. : これを示せ.

# 証明の概略

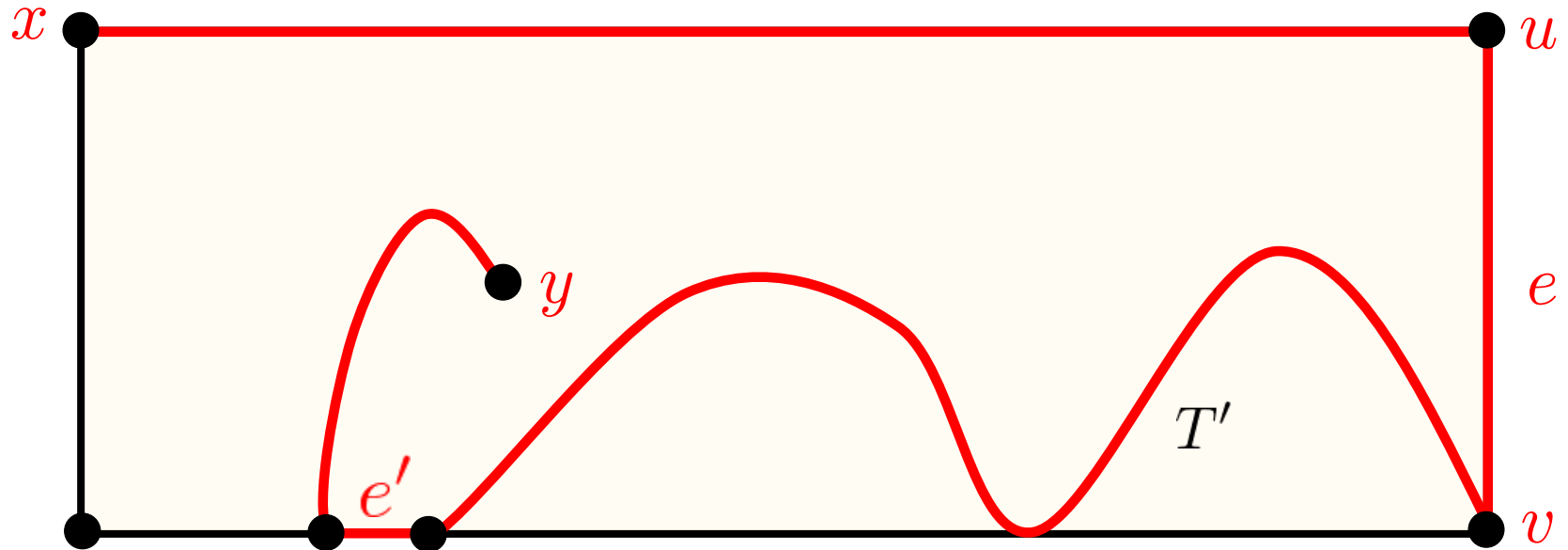


対称性より,  $\exists$  道 in  $G - V(C[x, u])$  s.t.  $v \rightarrow y$  としてよい  
 $G' = G - V(C[x, u])$ ,  $C'$ :  $G'$  の外領域の境界歩道, とおく

$e'$ :  $C[v, x)$  上の辺で,  $\exists$  道 s.t.  $v \xrightarrow{e'} y$  を満たし  $x$  に一番近い

とする

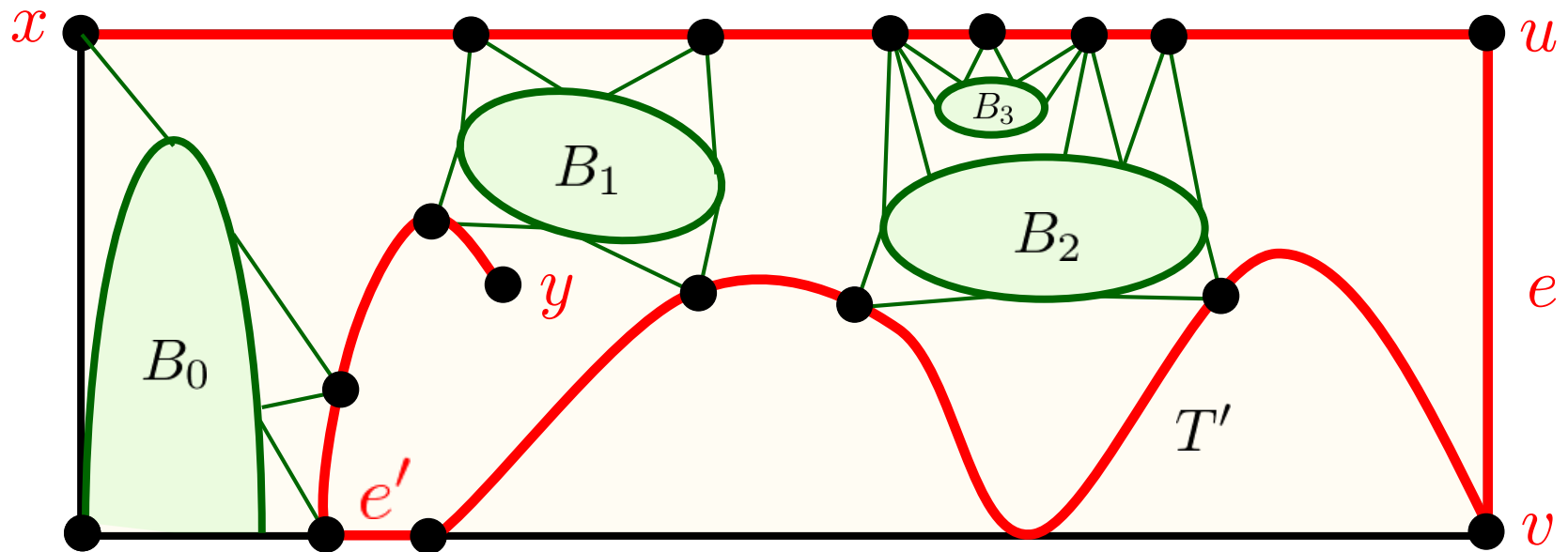
# 証明の概略



帰納法の仮定より,  $\exists T': C'\text{-Tutte道} \text{ in } G' \text{ s.t. } v \xrightarrow{e'} y$

$C[x, v] \cup T'$ :  $C\text{-Tutte 道 in } G$  の``候補''

# 証明の概略

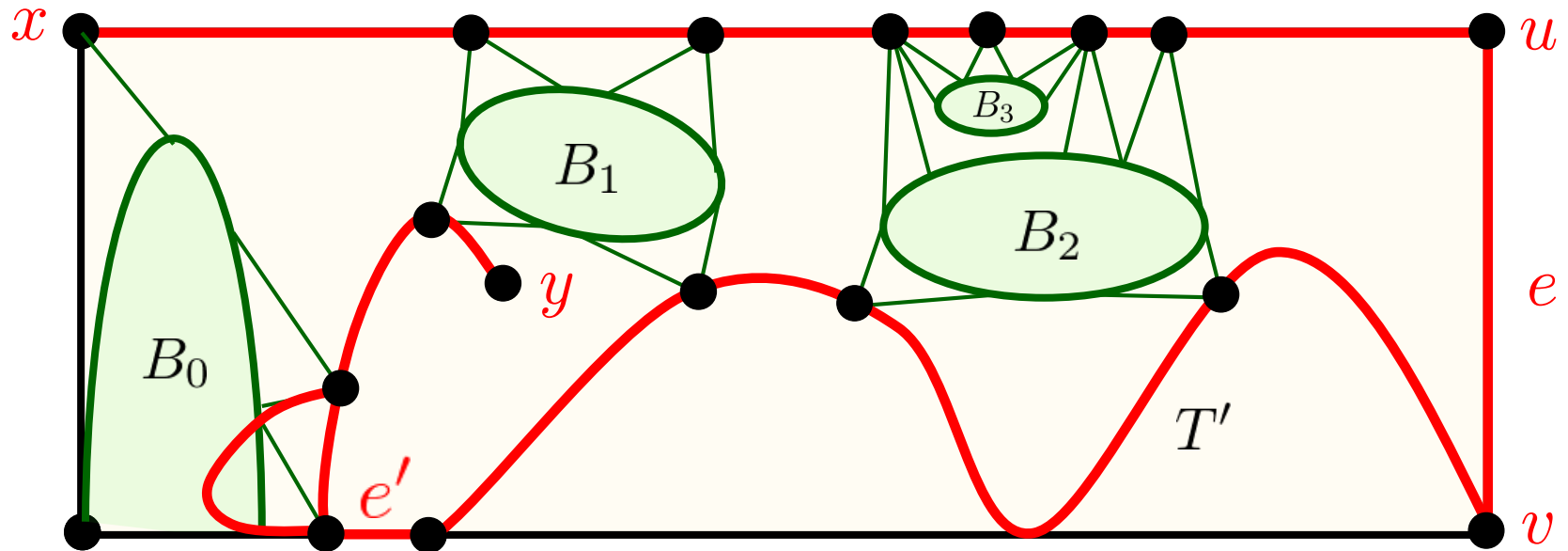


$C[x, v] \cup T'$  が  $C$ -Tutte 道でない理由 :

- (a)  $G - V(C[x, v] \cup T')$  の連結成分が  $C[x, u]$  に  $\geq 2$  個近傍を持つ ( $B_1, B_2, B_3$ )
- (b)  $G - V(C[x, v] \cup T')$  の連結成分で  $C(e', x)$  の点を含んでいて,

$T'$  に  $\geq 2$  個近傍を持つ ( $B_0$ )

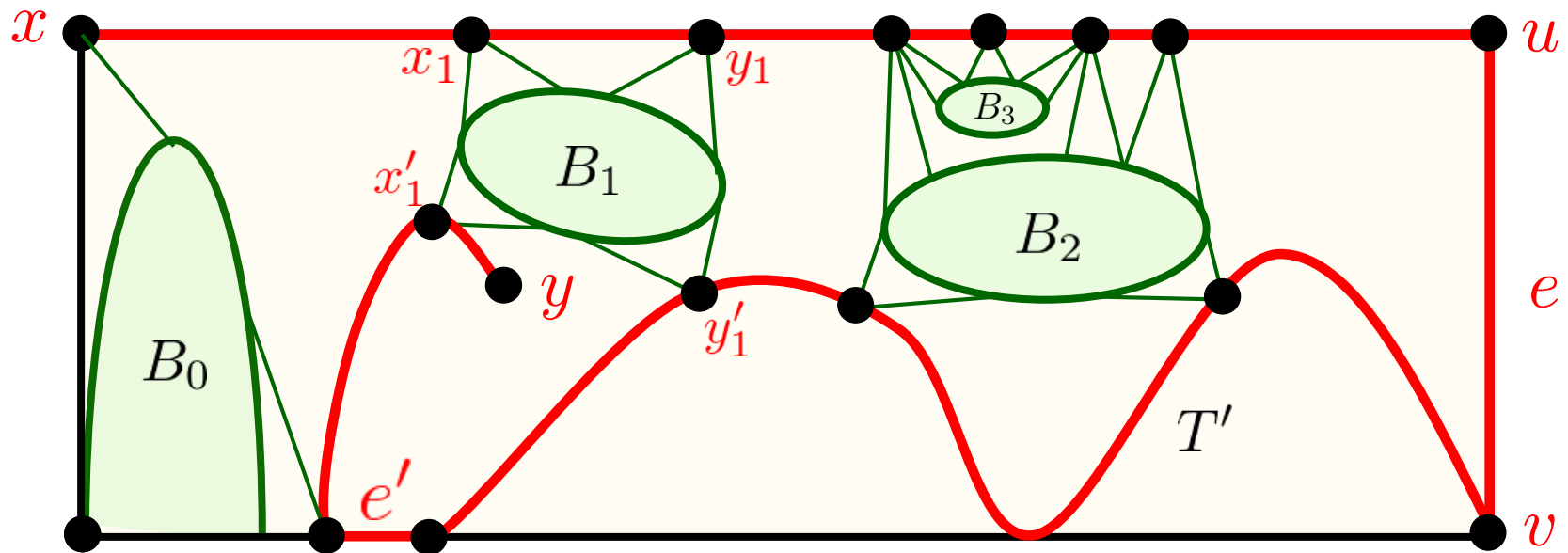
# 証明の概略



ただし、(b) が存在すると、 $e'$  の選び方に矛盾.

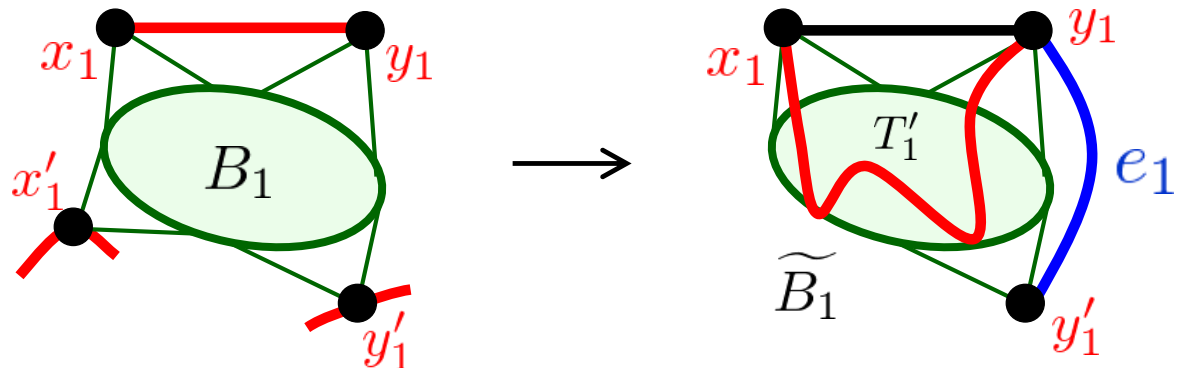
$e'$ :  $C[v, x)$  上の辺で、 $\exists$  道 s.t.  $v \xrightarrow{e'} y$  を満たし  $x$  に一番近い

# 証明の概略



$C[x, v] \cup T'$ : *C-Tutte 道* in  $G$  の ``候補''

# 証明の概略



$\widetilde{B}_1$  : 上から  $x'_1$ を取り除き, 辺  $e_1 = y_1 y'_1$ を加えたグラフ

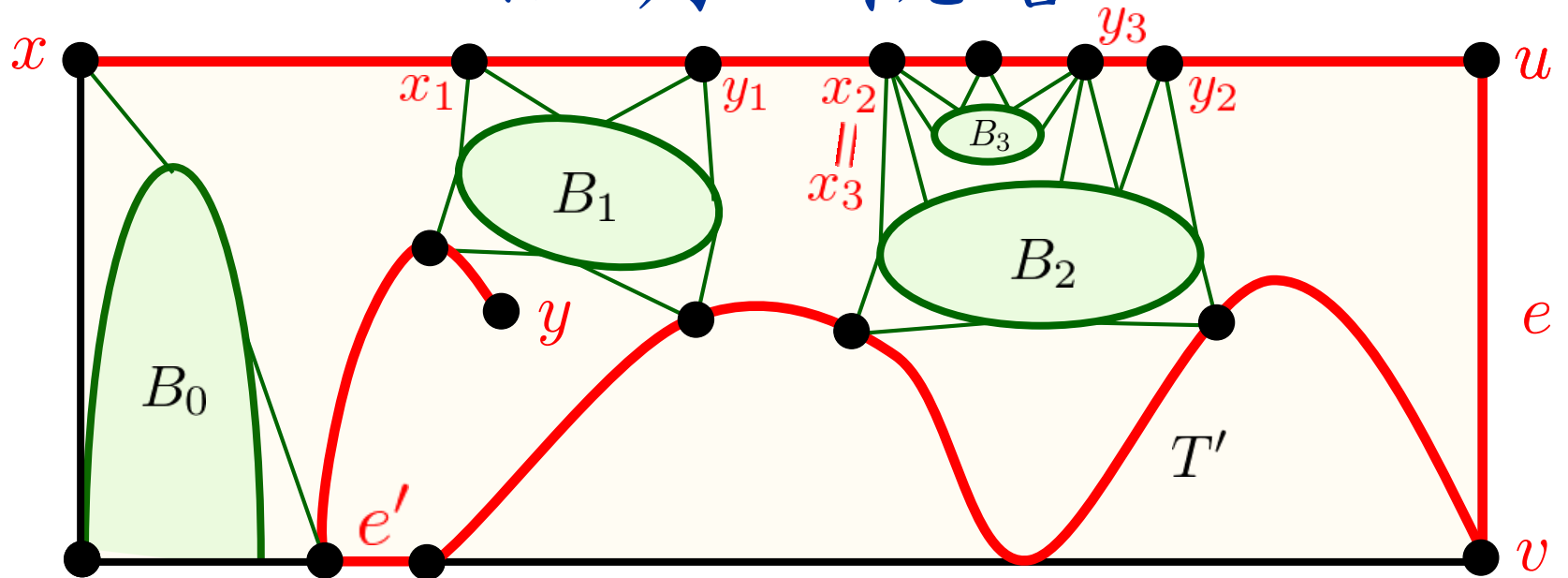
$C_1$  :  $\widetilde{B}_1$  の外領域の境界歩道

帰納法の仮定より,  $\exists T'_1$ :  $C_1$ -Tutte道 in  $\widetilde{B}_1$  s.t.  $x_1 \xrightarrow{e_1} y'_1$

$T_1 = T'_1 - y'_1$  は, 道 s.t.  $x_1 \rightarrow y_1$

Claim  $T_1 \cup \{x'_1, y'_1\}$  :  $C[x_1, y_1]$ -Tutte 部分グラフ in  $G$

# 証明の概略



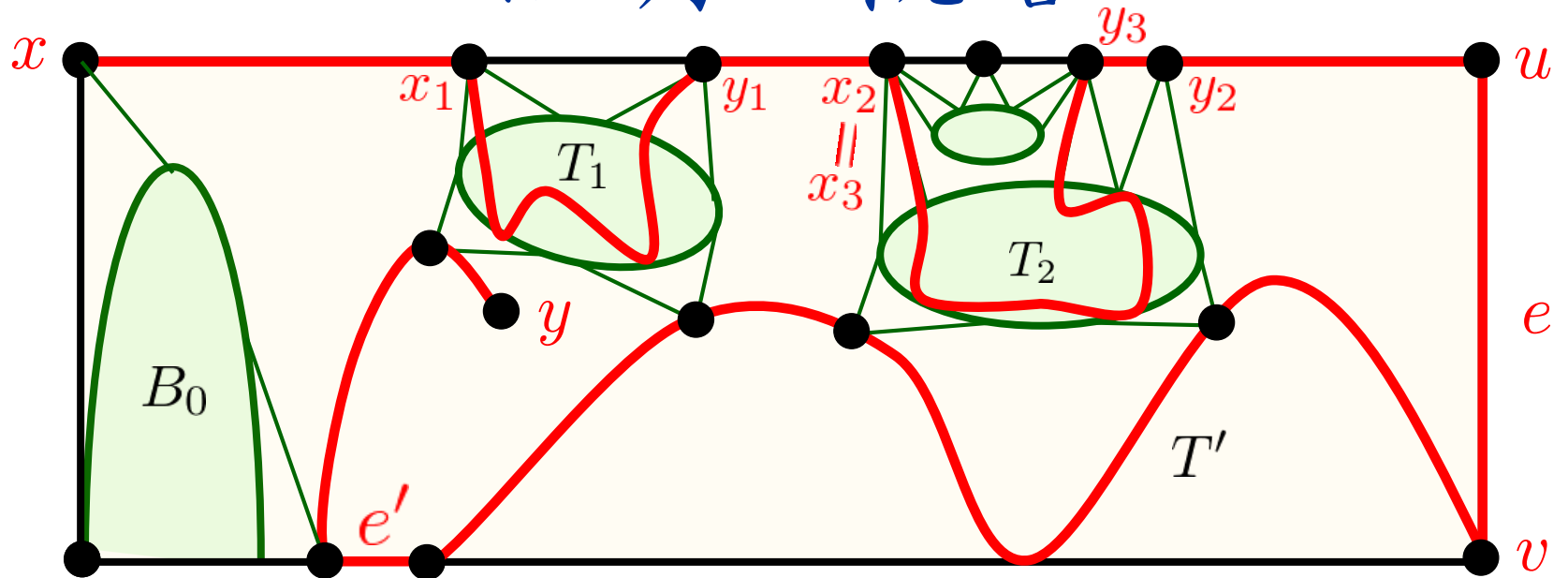
$C[x, v] \cup T'$ : **C-Tutte 道** in  $G$  の ``候補''

注:  $C[x_i, y_i] \cap C[x_j, y_j] \neq \emptyset \Rightarrow C[x_j, y_j] \subseteq C[x_i, y_i]$  または  $C[x_i, y_i] \subseteq C[x_j, y_j]$

演習番外3.: 上の注を示せ.

極大な  $C[x_i, y_i]$  をすべて  $T_i$  に替えることで **C-Tutte 道**を得る.

# 証明の概略



$C[x, v] \cup T'$ : **C-Tutte 道** in  $G$  の ``候補''

注:  $C[x_i, y_i] \cap C[x_j, y_j] \neq \emptyset \Rightarrow C[x_j, y_j] \subseteq C[x_i, y_i]$  または  $C[x_i, y_i] \subseteq C[x_j, y_j]$

演習番外 3.: 上の注を示せ.

極大な  $C[x_i, y_i]$  をすべて  $T_i$  に替えることで **C-Tutte 道**を得る.

# Tutte 道

定理 (Thomassen, '83)

$G$ : 平面グラフ,  $C$ : 外領域の境界歩道

$x$ :  $C$  上の頂点,  $e$ :  $C$  上の辺,  $y \in V(G) - \{x\}$

$\exists$   $x$  から  $y$  への道で  $e$  を通る もの

$\Rightarrow \exists$   $x$  から  $y$  への  $C$ -Tutte 道で  $e$  を通る もの

Sanders ('95)

$x$ :  $C$  上の頂点  $\rightarrow x$ :  $G$  の任意の頂点

と拡張している。

# Index

(I) イントロ

(II) ハミルトン閉路, その他のための必要条件

- ✓ Grinberg の必要条件
- ✓ タフネス型の必要条件

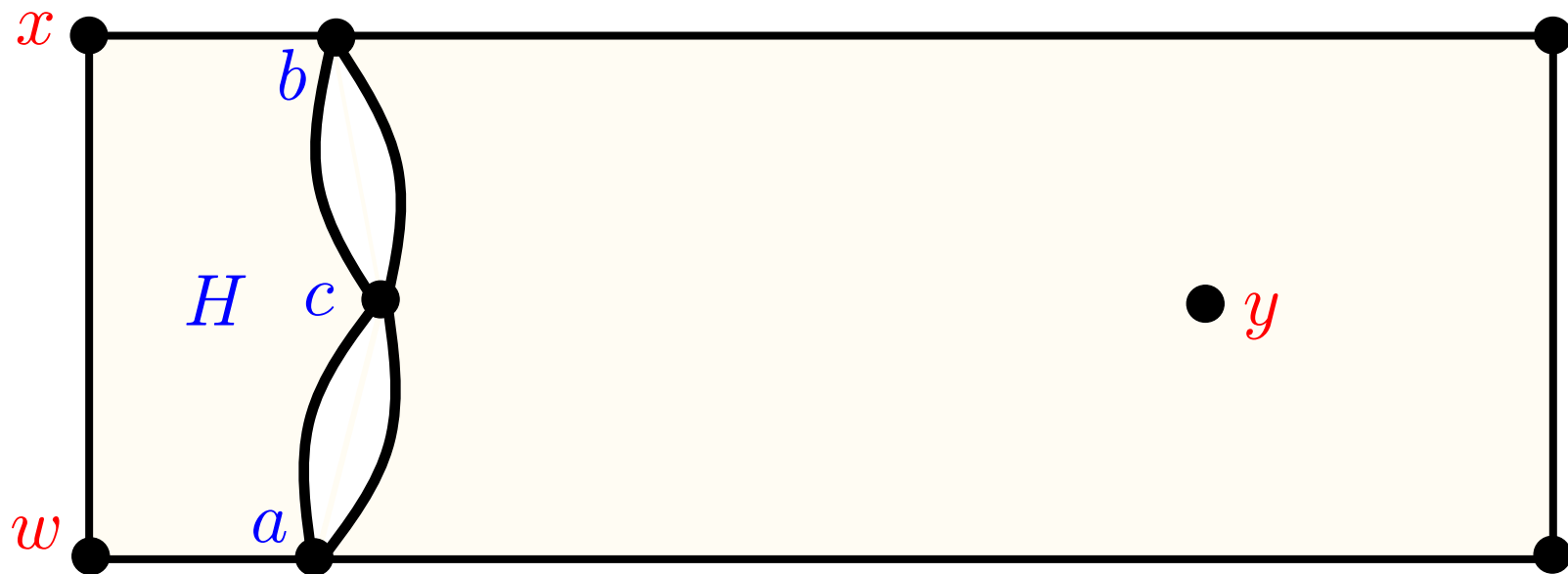
(III) Tutte 閉路・道, 命題と証明

- ✓ Thomassen によるもの
- ✓ 河原林 & 小関による新しいもの

(IV) Tutte 閉路・道の利用

- ✓ 3-連結 3-正則平面グラフ
- ✓ 本型埋め込み

# ハミルトン性の別証明

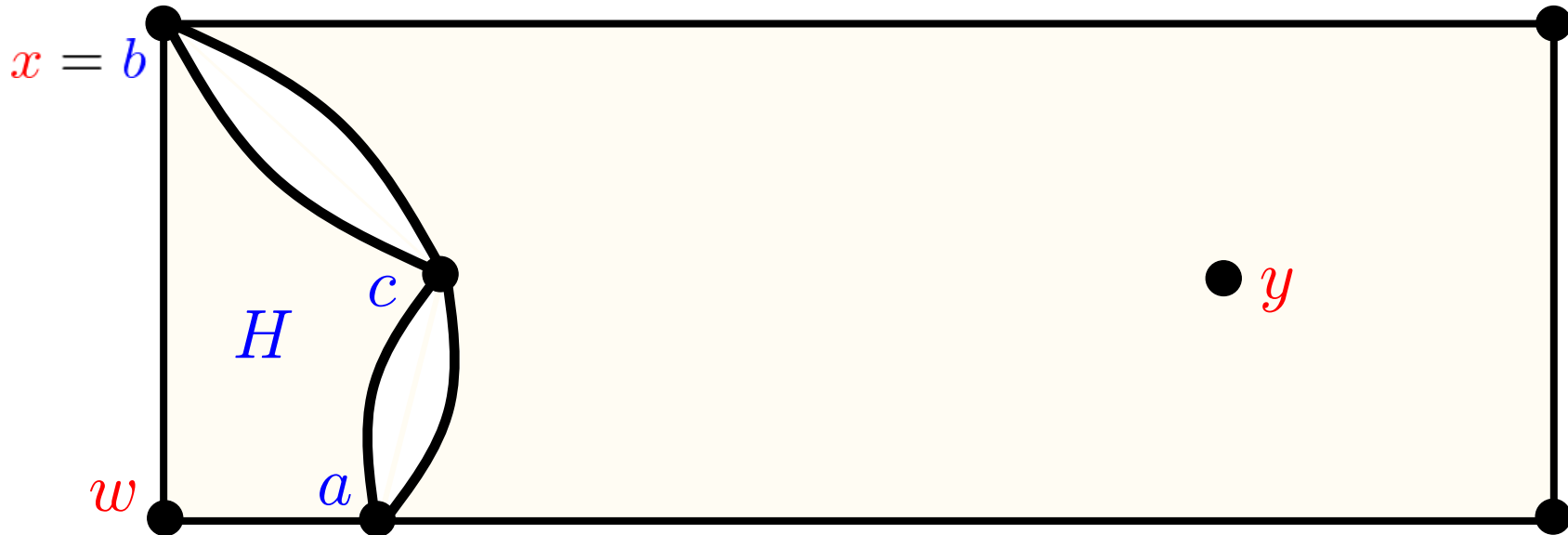


$\{a, b, c\}$  :  $x$  と  $y$  を分離する  $G$  の 3-cut で  $a, b \in V(C)$

$H$  :  $y$  を含まない  $G - \{a, b, c\}$  の連結成分

この  $H$  を ( $x, y$  を分離する)  $G$  の  $C$ -flap とよぶ

# ハミルトン性の別証明



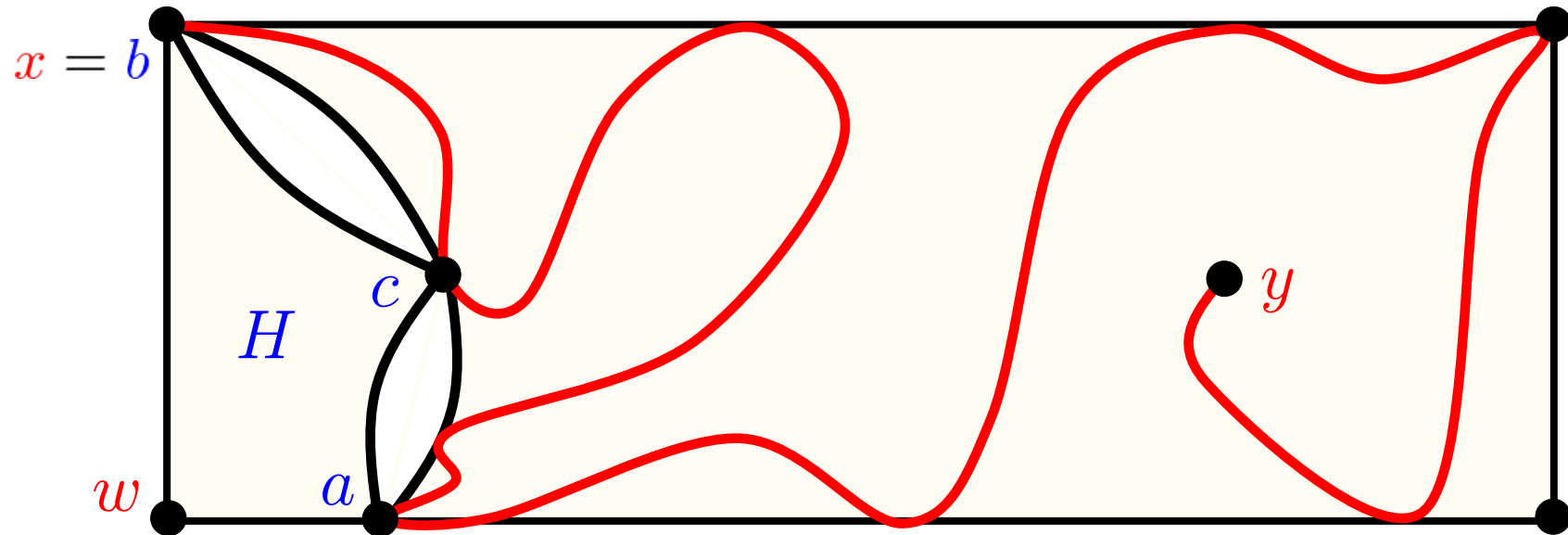
$\{a, b, c\}$  :  $x$  と  $y$  を分離する  $G$  の 3-cut で  $a, b \in V(C)$

$H$  :  $y$  を含まない  $G - \{a, b, c\}$  の連結成分

この  $H$  を ( $x, y$  を分離する)  $G$  の  $C$ -flap とよぶ

注 :  $x = b$  の場合も  $C$ -flap とよぶ

# ハミルトン性の別証明



目標 :  $b$  から  $y$  への道で “ほぼ”  $C$ -Tutte 道を見つける

$H$ : 唯一の例外的な成分

# 証明の概略

定理(本質的には、河原林 & 小関、'14)

$G$ : 2-連結平面グラフ,  $C$ : 外領域の境界歩道

$xw$ :  $C$  上の辺,  $y \in V(G) - \{x\}$

$\Rightarrow$  (i)  $\exists$   $x$  から  $y$  への  **$C$ -Tutte 道**

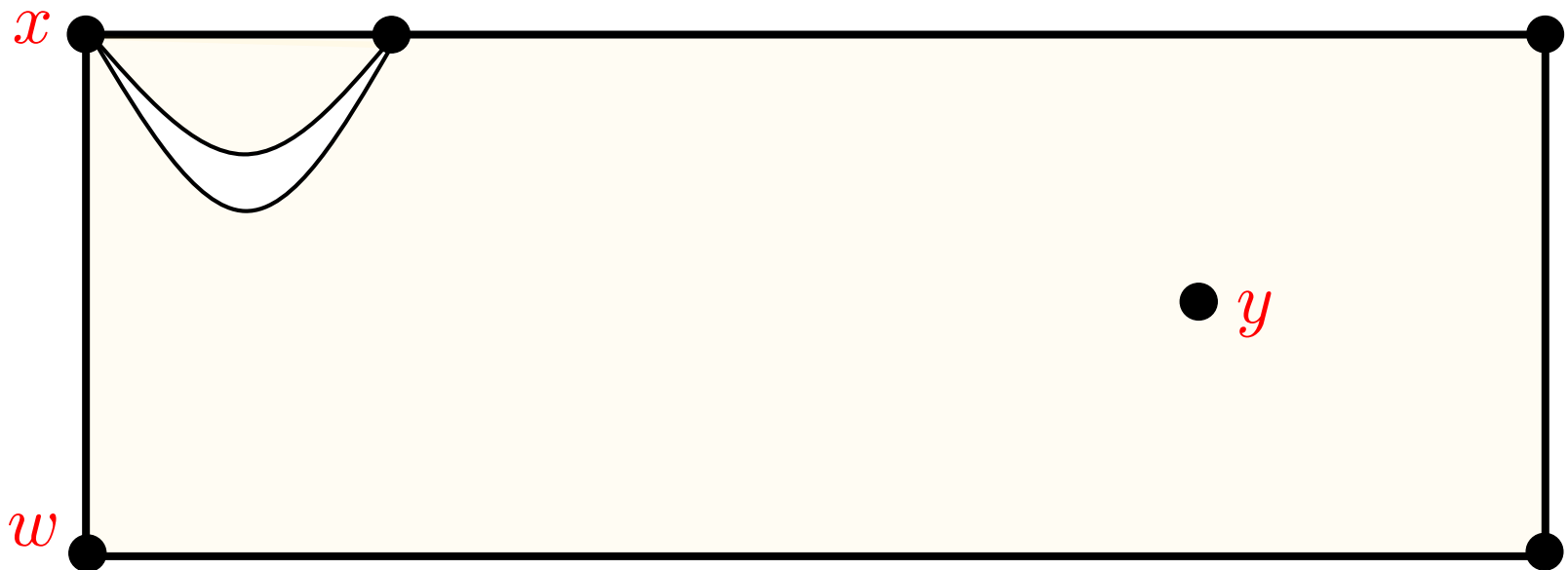
or (ii)  $\exists x, y$  を分離する  $G$  の  **$C$ -flap** s.t.  $a, w, x, b$  が  $C$  上でこの順

$\exists b$  から  $y$  への  $G - V(H)$  の  **$C$ -Tutte 道**

実際は,  $G$ : 射影平面グラフ,  $C$ : 適当な面の境界, で示した

系: 任意の 4-連結射影平面グラフは **ハミルトン連結**

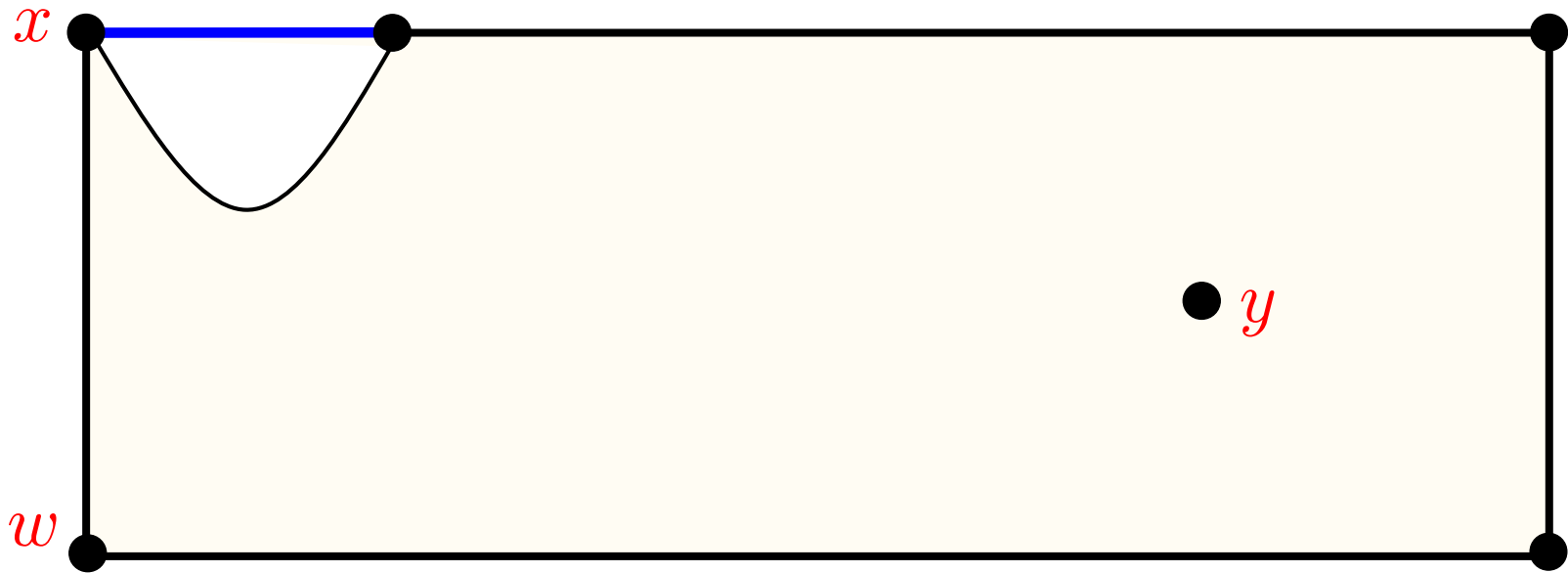
# ハミルトン性の別証明



- $|V(G)|$  に関する帰納法で示す

Case I :  $\exists S$ : 2-cut s.t.  $x \in S$

# ハミルトン性の別証明

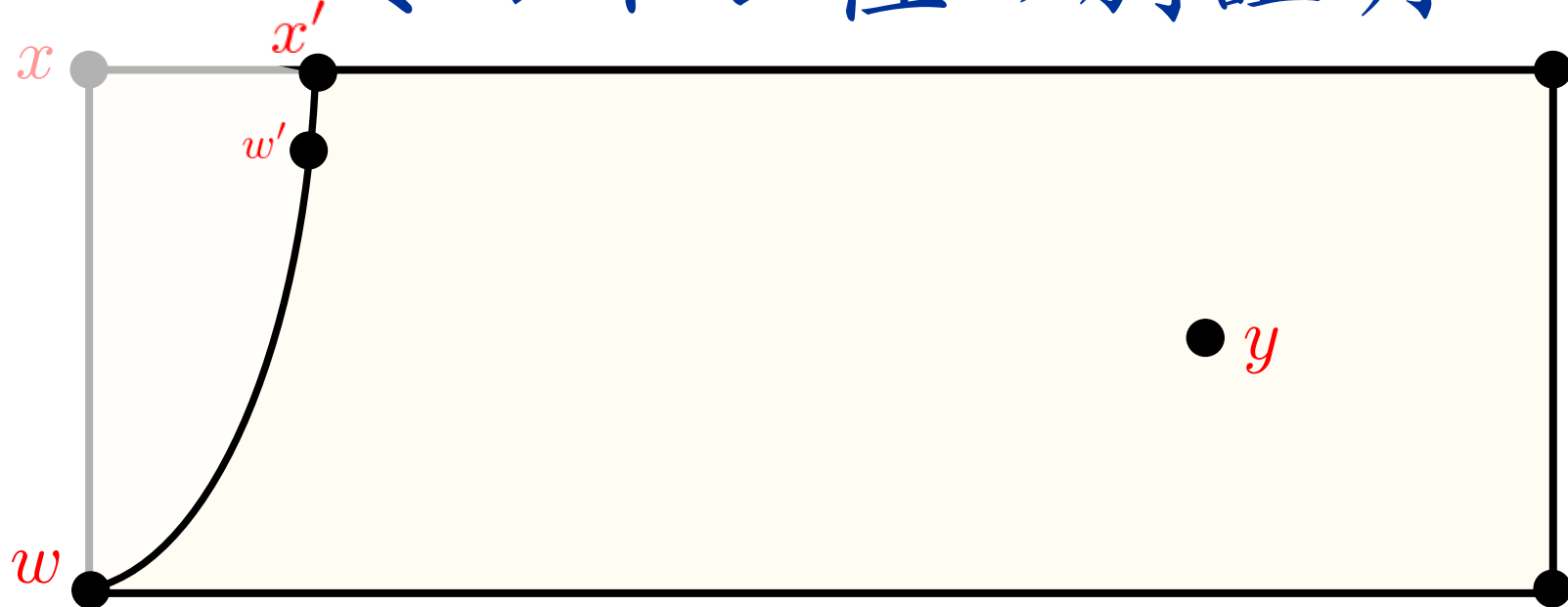


- $|V(G)|$  に関する帰納法で示す

Case I :  $\exists S$ : 2-cut s.t.  $x \in S$

$G - S$  の片方の連結成分を 辺 に置き換える。

# ハミルトン性の別証明

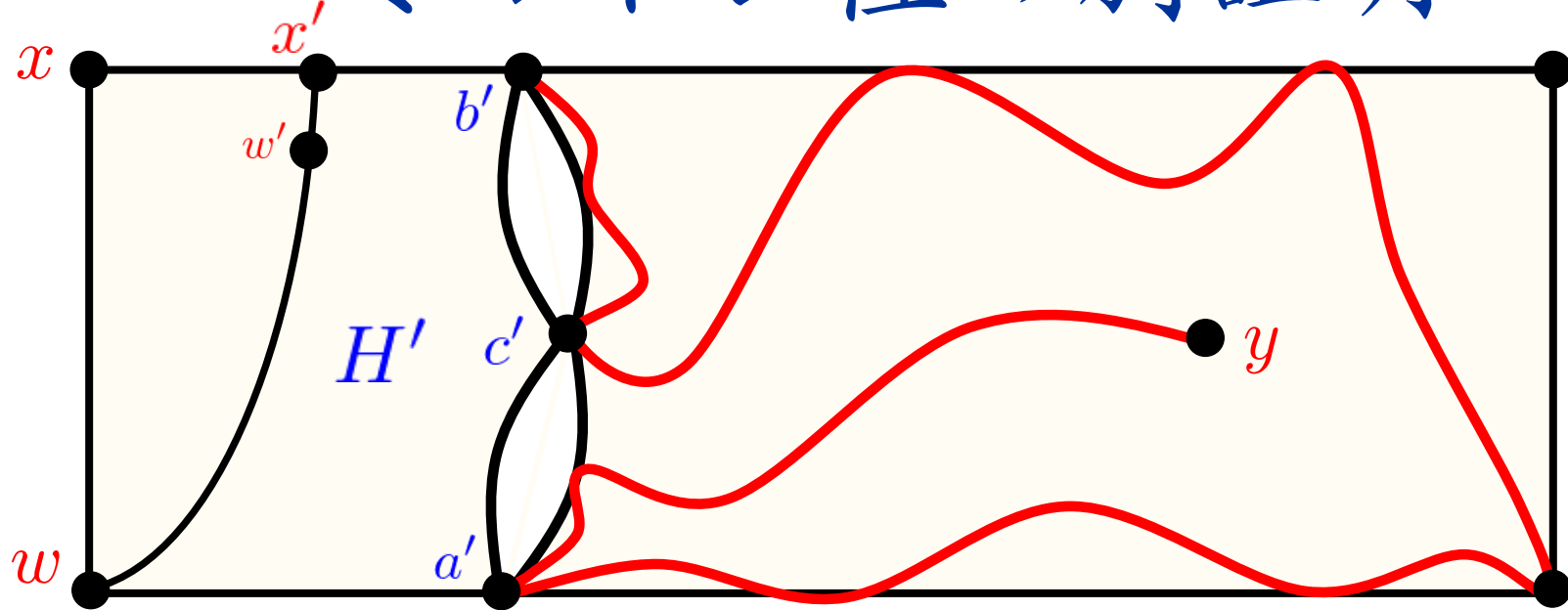


Case II :  $\nexists S$ : 2-cut s.t.  $x \in S$

このとき,  $G - x$  も 2-連結

$\rightarrow G - x$  に帰納法の仮定を使う

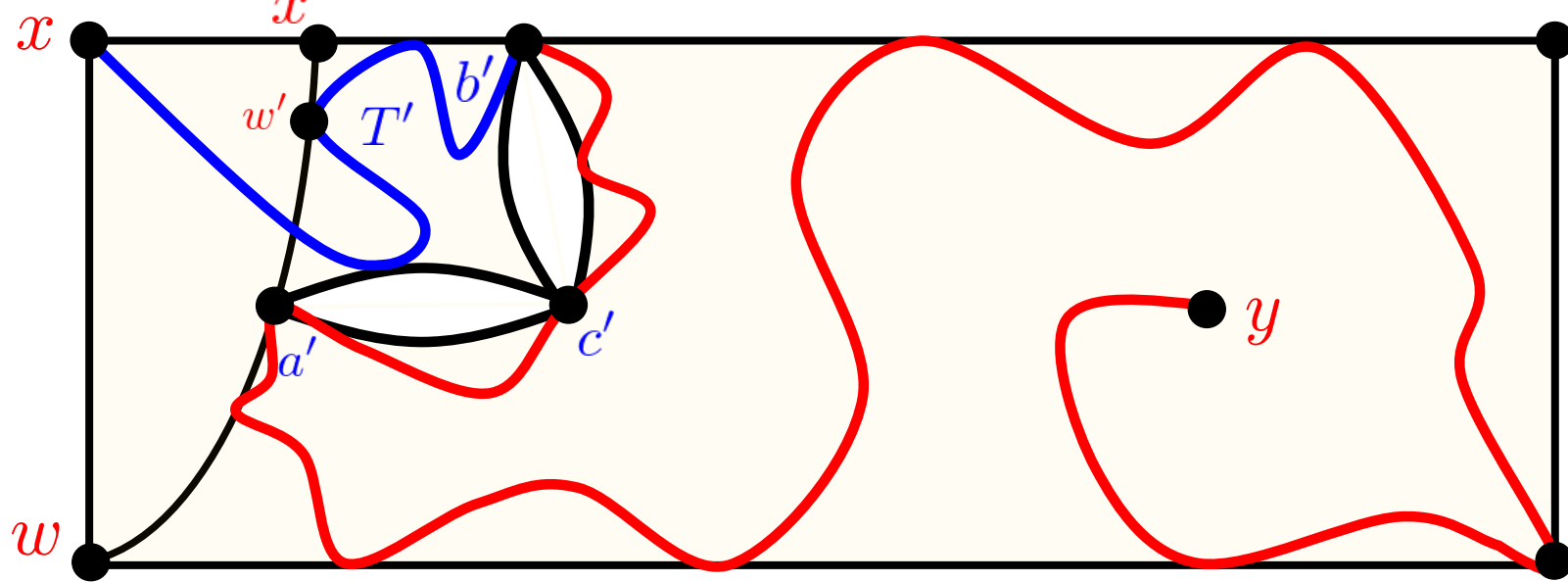
# ハミルトン性の別証明



$a'$  の位置で場合分け

Case (i) 上図 :  $H' \cup \{x\}$  が  $G$  の  $C$ -flap を誘導する

# ハミルトン性の別証明

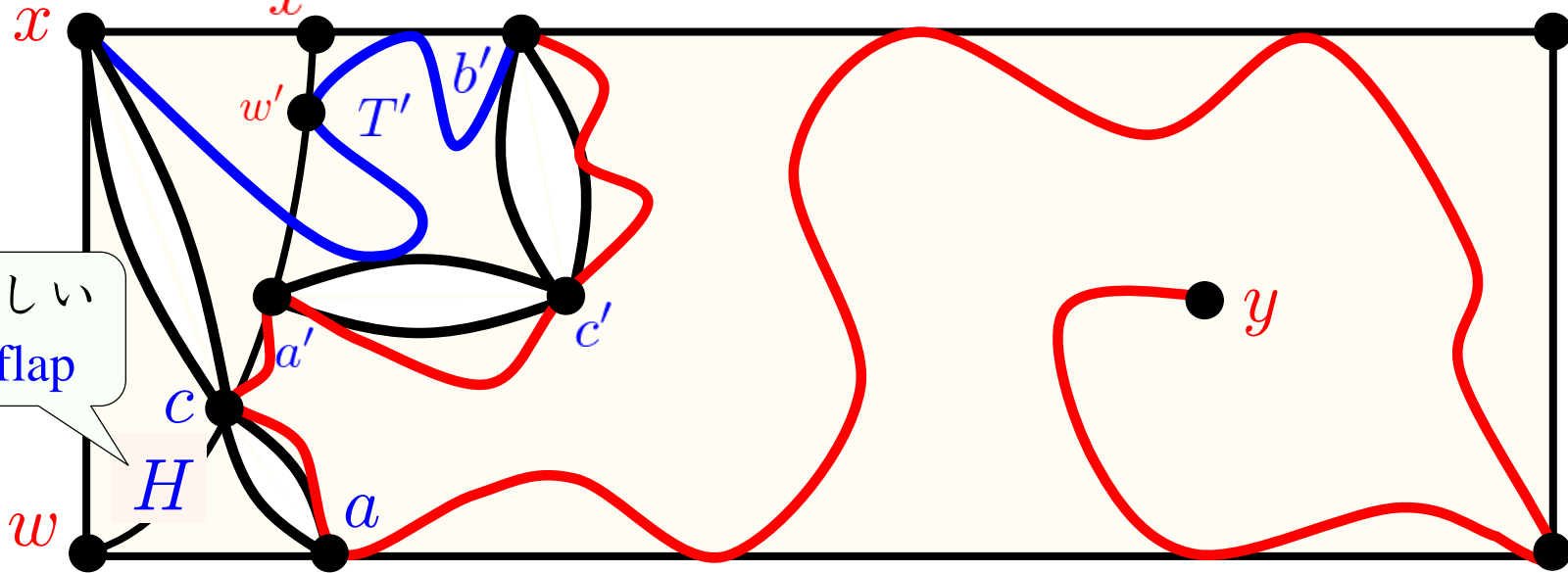


$a'$  の位置で場合分け

Case (ii) 上図 :  $H' \cup \{x\}$  に Tutte 道の定理を用いる

$\exists T'$ : 道 s.t.  $x \rightarrow b'$  かつ  $T' \cup \{a', c'\}$  は  $C[x, b']$ -Tutte 部分グラフ  
 $T'$  により道を  $x$  まで伸ばし, 所望の  $C$ -Tutte 道を  $x = b$  で得る

# ハミルトン性の別証明



$a'$  の位置で場合分け

Case (ii) 上図 :  $H' \cup \{x\}$  に Tutte 道の定理を用いる

$\exists T'$ : 道 s.t.  $x \rightarrow b'$  かつ  $T' \cup \{a', c'\}$  は  $C[x, b']$ -Tutte 部分グラフ  
 $T'$  により道を  $x$  まで伸ばし, 所望の  $C$ -Tutte 道を  $x = b$  で得る

# 証明の概略

定理(本質的には、河原林 & 小関、'14)

$G$ : 2-連結平面グラフ,  $C$ : 外領域の境界歩道

$xw$ :  $C$  上の辺,  $y \in V(G) - \{x\}$

$\Rightarrow$  (i)  $\exists$   $x$  から  $y$  への  **$C$ -Tutte 道**

or (ii)  $\exists x, y$  を分離する  $G$  の  **$C$ -flap** s.t.  $a, w, x, b$  が  $C$  上でこの順

$\exists b$  から  $y$  への  $G - V(H)$  の  **$C$ -Tutte 道**

実際は,  $G$ : 射影平面グラフ,  $C$ : 適当な面の境界, で示した

系: 任意の 4-連結射影平面グラフは **ハミルトン連結**

# 新しい証明の利点

一回の操作で 1 頂点しか取り除かない.

→ 平面以外の閉曲面の場合は、帰納法の出発点が容易

$$\rho(G) := \min\{|S| : G - S \text{ は平面グラフ}\}$$

に対し、帰納法の出発点は

$$\rho(G) = \begin{cases} 2, 3 & \text{Thomassen の手法} \\ 2 & \text{新しい手法} \end{cases}$$

# アルゴリズムの観点

演習番外 4. :

それぞれの証明は構成的でアルゴリズムとなるが,  
その計算量を求めよ.

参考 :

Chiba & Nishizeki ('89) :

$\exists O(n)$ -時間アルゴリズム s.t.

$n$  頂点 4-連結平面グラフにハミルトン閉路を見つける